

Changeability of saline soil surface due to soil cyanobacteria inoculation using image processing

Sudabeh Gharemahmudli¹, Seyed Hamidreza Sadeghi^{*2},
Vahideh Sadat Sadeghi^{*3}

1. Postdoctoral Researcher, Dept. of Watershed Management Engineering, Faculty of Natural Resources, Tarbiat Modares University, Noor, Iran. E-mail: gharemahmudlisudabe@modares.ac.ir
2. Corresponding Author, Professor, Dept. of Watershed Management Engineering, Faculty of Natural Resources, Tarbiat Modares University, Noor, Iran. E-mail: sadeghi@modares.ac.ir
3. Corresponding Author, Assistant Prof., Dept. of Electrical and Computer Engineering, Golpayegan College of Engineering, Isfahan University of Technology, Golpayegan, Iran. E-mail: vs.sadeghi@iut.ac.ir

Article Info	ABSTRACT
Article type: Research Full Paper	Background and Objectives: Land degradation and soil erosion are critical global problems due to their adverse effects on agricultural productivity, the environment, and their impact on food security and quality of life. In recent years, the study of the effect of soil microorganisms on soil degradation in dry areas and saline soil on various components of soil stability and stabilization has attracted the attention of many researchers. In the present research, it has tried to present new biological solutions and methods in compliance with the standards for curbing land degradation based on surface inoculation of soil-borne cyanobacteria on the surface of saline and alkaline soil. This research was done based on the natural conditions of the soil in the field under study and the evaluation of the potential effect of the inoculation of local soil cyanobacteria on the stability and stabilization of the saline and sodium soil surface using image processing.
Article history: Received: 02.19.2024 Revised: 03.14.2024 Accepted: 04.08.2024	
Keywords: Soil biocrust, Soil erosion, Soil stability, Soil surface roughness	Materials and Methods: In this regard, the biologically studied soil was prepared from saline and erosion-sensitive lands from the Incheh Borun region in Golestan Province, Iran. Then, the most suitable cyanobacteria in the mother soil were identified, selected, purified, and propagated in two different soil salinities with two repetitions on prepared plots with dimensions of one in one in the study area. In order to maximize the effect of cyanobacteria in the soil environment, after 50 days of inoculation of cyanobacteria on the soil surface, in order to process the image with MATLAB software with different algorithms, the surface of the plots was photographed.
	Results: The results obtained from visual observation showed that the morphometry of soil surface in soil with low and high salinity, the surface of the soil treated with cyanobacteria was less swollen, and soil particles were mixed than the surface of the control treatment. According to the results obtained from the software, the value of the standard deviation of the pixels and the entropy of the images obtained from the image processing showed in the treatments with a lower salinity level compared to the treatments with a higher salinity level. The mean value of the standard deviation of the pixels of the images in the treatment inoculated with cyanobacteria has decreased by 37.36% and 14.55%, respectively,

compared to the control treatment significantly ($P<0.01$). In addition, the mean entropy of the images in the treatment inoculated with cyanobacteria decreased by 9.18% and 3.04%, respectively, compared to the control treatment in a non-significant manner ($P>0.01$).

Conclusion: According to the results, it can be said that the inoculation of cyanobacteria on the surface of saline soil can be considered to increase stabilization and reduce the degradation of soil grains on the soil surface. The results of the present study can be therefore considered as a bioengineering approach for soil stabilization in saline watersheds, which ultimately provides the basis for water, food, and environmental security.

Cite this article: Gharemahmudli, Sudabeh, Sadeghi, Seyed Hamidreza, Sadeghi, Vahideh Sadat. 2024. Changeability of saline soil surface due to soil cyanobacteria inoculation using image processing. *Journal of Water and Soil Conservation*, 31 (2), 119-137.



© The Author(s).

DOI: [10.22069/jwsc.2024.22219.3715](https://doi.org/10.22069/jwsc.2024.22219.3715)

Publisher: Gorgan University of Agricultural Sciences and Natural Resources

تغییرپذیری سطح خاک شور ناشی از تلکیح سیانوباکتری‌های خاکزی با استفاده از پردازش تصویر

سودابه قره‌محمدی^۱، سید‌حمدیرضا صادقی^{۲*}، وحیده‌السادات صادقی^۳

۱. پژوهشگر پسادکتری گروه مهندسی آبخیزداری، دانشکده منابع طبیعی، دانشگاه تربیت مدرس، نور، ایران.
رایانامه: gharemahmudlisudabe@modares.ac.ir
۲. نویسنده مسئول، استاد گروه مهندسی آبخیزداری، دانشکده منابع طبیعی، دانشگاه تربیت مدرس، نور، ایران.
رایانامه: sadeghi@modares.ac.ir
۳. نویسنده مسئول، استادیار گروه مهندسی برق و کامپیوتر، دانشکده فنی مهندسی گلپایگان، دانشگاه صنعتی اصفهان، گلپایگان، ایران.
رایانامه: vs.sadeghi@iut.ac.ir

اطلاعات مقاله	چکیده
نوع مقاله:	مقاله کامل علمی-پژوهشی
تاریخ دریافت:	۰۲/۱۱/۳۰
تاریخ ویرایش:	۰۲/۱۲/۲۴
تاریخ پذیرش:	۰۳/۰۱/۲۰
واژه‌های کلیدی:	پایداری خاک، پوسته‌زیستی خاک، زبری سطحی خاک، فرسایش خاک
مواد و روش‌ها:	در همین راستا، خاک موردمطالعه زیستی از اراضی شور و حساس به فرسایش از منطقه اینچه‌برون در استان گلستان تهیه شد. سپس مناسب‌ترین سیانوباکتری‌های موجود در خاک مادری در حفاظت آب و خاک شناسایی، انتخاب، خالص‌سازی و تکثیر شدند و در دو شوری متفاوت خاک با دو تکرار روی کرت‌ها آماده شده با ابعاد یک در یک، در مطالعه تلکیح شدند. به‌منظور حداکثر اثرگذاری سیانوباکتری‌ها در محیط خاک پس از گذشت ۵۰ روز از تلکیح سیانوباکتری‌ها بر سطح خاک به‌منظور پردازش تصویر با نرم‌افزار MATLAB با الگوریتم‌های مختلف اقدام به عکس‌برداری از سطح کرت‌ها شد.

یافته‌ها: نتایج به دست آمده از مشاهده چشمی نشان داد ریخت‌سنگی سطح خاک در خاک با سوری کم و زیاد، سطح خاک تیمار تلقیح شده با سیانوباکتری نسبت به سطح تیمار شاهد حالت پف‌کرده و به هم ریختگی ذرات خاک کم‌تر بود. طبق نتایج به دست آمده از نرم‌افزار مقدار انحراف استاندارد پیکسل‌ها و آنتروپی تصاویر حاصل از پردازش تصویر در تیمارها با سطح سوری کم‌تر نسبت به تیمارها با سطح سوری بیش‌تر، میانگین مقدار انحراف استاندارد پیکسل‌های تصاویر در تیمار تلقیح شده با سیانوباکتری به ترتیب $37/36$ و $14/55$ درصد نسبت به تیمار شاهد به صورت معنی‌دار ($P < 0.01$) کاهش داشته است. هم‌چنین میانگین آنتروپی تصاویر نیز در تیمار تلقیح شده با سیانوباکتری به ترتیب $9/18$ و $3/04$ درصد نسبت به تیمار شاهد به صورت غیرمعنی‌دار ($P > 0.01$) کاهشی به دست آمد.

نتیجه‌گیری: با توجه به نتایج به دست آمده می‌توان بیان کرد، تلقیح سیانوباکتری‌ها بر سطح خاک سور برای افزایش ثبات و کاهش تخریب خاکدانه‌های سطح خاک می‌تواند مورد توجه قرار گیرد. از این‌رو نتایج پژوهش حاضر می‌تواند به عنوان رویکردی زیستی مهندسی برای ثبات خاک در حوزه‌های آبخیز شور تلقی شود که درنهایت امنیت آب، غذا و محیط‌زیست را زمینه‌سازی می‌کند.

استناد: قره‌محمدولی، سودابه، صادقی، سید‌حمیدرضا، صادقی، و حیده‌السادات (۱۴۰۳). تغییرپذیری سطح خاک سور ناشی از تلقیح سیانوباکتری‌های خاکزی با استفاده از پردازش تصویر. پژوهش‌های حفاظت آب و خاک، ۳۱(۲)، ۱۱۹-۱۳۷.

DOI: [10.22069/jwsc.2024.22219.3715](https://doi.org/10.22069/jwsc.2024.22219.3715)



© نویسنده‌گان.

ناشر: دانشگاه علوم کشاورزی و منابع طبیعی گرگان

می‌شود (۷). املاح بیش از حد مانع از جذب آب و جذب مواد مغذی شده و باعث ایجاد تنش در گیاه و کاهش تولید کلی می‌شود. بنابراین، افزایش سطح شوری منجر به از دست رفتن منابع خاک موجود می‌شود که بر توسعه کشاورزی و رفاه بوم‌شناسختی تأثیر می‌گذارد (۸ و ۹). در صورت عدم حفاظت، این وضعیت می‌تواند در درازمدت به یک مشکل اجتماعی-اقتصادی و سلامت انسان تبدیل شود (۱۰).

پایداری خاکدانه‌ها میزان توانایی و مقاومت ذرات خاک در برابر تنش‌های برشی نیروهای بیرونی مانند آب و باد بوده و عواملی مانند بافت خاک، تبادل کاتیونی، میزان مواد آلی و جمعیت، نوع و عملکرد ریزمووجودات خاک‌زی بر مقادیر آن تأثیرگذار است (۱۱).

پوسته زیستی خاک^۱، سطح تحکیم‌یافته ناشی از تجمع ذرات خاک، سیانوباکتری‌ها، باکتری‌ها، فارچ‌ها، گلسنگ‌ها و خزه‌ها بوده که به صورت گروهی یا انفرادی با ضخامت یک میلی‌متر تا چند سانتی‌متر در مناطق مختلف آب‌وهوایی قابل مشاهده است (۱۲).

گروهی از ریزمووجودات هستند که زیستگاه طبیعی آن‌ها محیط خاک بوده و به سبب فعالیت آن‌ها نقش مهمی در چرخه عناصر در طبیعت، تشکیل و حاصلخیزی خاک دارند. ریزمووجودات خاک‌زی به صورت مستقیم و غیرمستقیم با هم در ارتباط بوده و علاوه بر تأمین مواد مغذی برای رشد و فعالیت همیگر، شرایط زیستن برای سایر موجودات در سطح بالایی خاک را نیز فراهم می‌آورند (۱۳ و ۱۴).

استفاده از پوسته‌های زیستی خاک به عنوان یکی از روش‌های زیستی برای بهبود رفتار هیدرولوژیکی، انسجام، تجمع و فرسایش‌پذیری خاک به گونه‌ای تلقی می‌شود که در برابر عوامل مخرب خاک و آب مقاومت می‌کند (۱۵).

مقدمه

فرسایش خاک تهدیدی جدی برای منابع خاک و محیط‌زیست به شمار می‌آید که باعث کاهش حاصلخیزی، فرسایش خاک، سیلاب‌ها و رسوبات می‌شود (۱). فرسایش خاک، سیلاب‌ها و رسوبات به عنوان یک موضوع حیاتی محیط‌زیست جهانی، از پیامدهای مهم تخریب اراضی هستند که منجر به کاهش بهره‌وری و پایداری کشاورزی، افزایش بلایای طبیعی و مسائل اقتصادی، اجتماعی و سیاسی می‌شود (۲). برای دستیابی به توسعه پایدار، تلاش‌های کارآمد و همه‌جانبه ضروری است. این امر مستلزم استفاده از چندین فن برای حفظ منابع طبیعی و بوم‌سازگان است که درنتیجه حفاظت از خاک و آب و بهبود شرایط اقتصادی حاصل می‌شود (۳).

شوری خاک یکی از مشکلات و محدودیت‌های اصلی خاک کشاورزی و تخریب سرزمین در مناطق خشک و نیمه‌خشک جهان است (۴). شوری خاک ناشی از افزایش تبخیر و تجمع نمک به دلیل تخریب فیزیکی و شیمیایی خاک است که باعث کاهش پایداری خاک، نفوذ آب و فرسایش خاک می‌شود. انباست نمک در خاک‌های مناطق خشک نه تنها بر فرآیندهای فیزیکی، شیمیایی و زیستی خاک تأثیر می‌گذارد، بلکه باعث کاهش بهره‌وری خاک، پوشش‌گیاهی و بیابان‌زایی می‌شود (۵ و ۶). شوری و بیابان‌زایی با هم تعامل داشته و بر بوم‌سازگان و همچنین فعالیت‌های اقتصادی و اجتماعی تأثیر منفی می‌گذارند. شوری و خشکی خاک باعث تورم و برهم‌ریختگی ساختمان خاک شده و از طرف دیگر افزایش تبخیر آب از لایه‌های سطحی خاک کاهش محتوى رطوبتی خاک، چسبندگی و اصطکاک بین خاکدانه‌ها را در پی خواهد داشت.

شوری خاک باعث تغییر یا حتی اختلال در ویژگی‌های طبیعی، زیست‌شیمیایی و فرسایشی

تعویض را نسبت به خاک‌های بدون پوسته‌زیستی کاهش داده است. چگالی ظاهری در خاک‌ها با پوشش‌زیستی نسبت به خاک‌های غیرزیستی کاهش یافته است. به طور کلی، پوسته‌های زیستی تأثیر مثبتی بر بسیاری از ویژگی‌های خاک داشتند و درنتیجه کیفیت خاک را افزایش دادند (۲۳). سپهر و همکاران (۲۰۱۹) اثر نقش حفاظتی سیانوباکتری بر پایداری خاک در دو خاک اریدوسول^۱ در شمال شرق ایران را مورد بررسی قرار دادند. نتایج پژوهش نشان داد که سیانوباکتری‌ها قادر به افزایش نیتروژن و کربن خاک، تشکیل خاکدانه‌های بزرگ، افزایش پایداری خاک و تنظیم جامعه زیستی در شرایط خشکی بوده‌اند (۲۴). قره‌محمودلی و همکاران (۲۰۲۲) تأثیر تلقیح سیانوباکتری‌های بومی از منطقه بدرانلو در خراسان شمالی، به‌منظور بهبود الگوی درز و شکاف خاک و مهار رواناب سطحی در شرایط انجماد-ذوب، تحت بارش شبیه‌سازی شده در شرایط آزمایشگاه مورد بررسی قرار دادند. نتایج آن‌ها نشان داد که ترک‌های عمیق و بزرگ در تیمار شاهد به‌طور قابل توجهی به شکاف‌های کم عمق، کوچک با طول بیش‌تر و عرض کم‌تر در نمونه‌های تلقیح شده با سیانوباکتری‌ها، بهبود یافته‌ند. همچنین در تیمار سیانوباکتری با ترشح پلی‌ساقارید و ایجاد یک شبکه عنکبوت مانند در سطح خاک باعث اتصال خاکدانه‌ها و افزایش زمان شروع رواناب (۲۷۴ درصد؛ $P < 0.01$) و کاهش حجم رواناب (۱۴۷ - درصد؛ $P < 0.001$) شده است (۲۵).

صادقی و همکاران (۲۰۲۳) الف) به بررسی کارایی تلقیح سیانوباکتری و باکتری بر هدررفت خاک طی پنج بارندگی متوالی با استفاده از شبیه‌ساز باران در خاک‌های حساس به فرسایش مرزن‌آباد پرداختند. بیش‌ترین تلفات خاک به میزان حدود ۳۰ کیلوگرم در تیمار شاهد در اولین بارندگی رخ داد. در مقابل،

سیانوباکتری‌ها یکی از اجزای اصلی پوسته‌های زیستی خاک در مناطق خشک و نیمه‌خشک هستند که در لایه سطحی خاک رشد می‌کنند و با ترشح مواد پلی‌ساقاریدی در چرخه عناصر شرکت کرده و نقش مهمی در بهبود کیفیت و حاصلخیزی خاک دارند (۱۶). سیانوباکتری‌ها که به‌عنوان سیانوفیتا هم شناخته می‌شوند از فیلوم^۲ باکتری‌ها بوده که انرژی خود را از طریق فتوستتر به‌دست می‌آورند (۱۷). سیانوباکتری‌ها در طیف گسترده‌ای از محیط‌ها به‌ویژه خاک حضور داشته و در شرایط نامناسب محیطی توانایی زنده‌مانی، رشد و فعالیت را دارند (۱۸). برخی از جنس‌های خاک‌زی سیانوباکتری‌ها خاصیت جذب آب (۱۹)، توانایی تثبیت نیتروژن و کربن (۲۰)، غلاف چسبنده و قابلیت بالای ترشح پلی‌ساقاریدی و همچنین سامانه رشد شبکه‌ای در بین ذرات خاک (۲۱) را دارند.

در سال‌های اخیر بررسی تأثیر ریزموجودات خاک‌زی بر تخریب خاک در مناطق خشک و خاک شور بر مؤلفه‌های مختلف پایداری و تثبیت خاک نظر بسیاری از پژوهش‌گران را جلب کرده است. رسی و همکاران (۲۰۱۷) در یک مطالعه مروری امکان تکثیر و تولید در مقیاس صنعتی سیانوباکتری‌ها در استخراه‌های بزرگ و تلقیح آن‌ها به سطح وسیعی از اراضی برای مقابله با بیابان‌زایی و بهبود ویژگی‌های خاک مناطق در حال تخریب و تخریب شده را تأیید کردند (۲۲). کاکه و همکاران (۲۰۲۰) تأثیر پوسته‌های زیستی خاک بر برخی ویژگی‌های فیزیکی و شیمیایی خاک‌های اراضی مرتعی شور در آلاگل، ترکمن‌صحراء، شمال شرق ایران را مورد بررسی قرار دادند. تحلیل نتایج نشان داد که خاک‌های دارای پوشش‌زیستی، سطوح کربن آلی، نیتروژن، فسفر، مس و آهن را افزایش داده و pH، کربنات کلسیم، سدیم، کلسیم، منیزیم، نسبت جذب سدیم و درصد سدیم قابل

استفاده از روش‌های جدید از جمله پردازش تصویر در مطالعات پایداری و ثبیت خاکدانه‌ها و همچنین رعایت استانداردها امری لازم در نیل به هدف‌های متصور و توجیه به کارگیری روش‌های تفکیک جدید است.

بنابراین هدف از انجام پژوهش حاضر امکان‌سنجی پایداری و ثبیت خاکدانه‌ها ناشی از تلخیج سیانوباکتری‌ها روی یک خاک شور و سدیمی با شوری متفاوت و با کمک پردازش تصویر است. از این‌رو پژوهش حاضر باهدف تحلیل پایداری خاک با استفاده از پردازش تصویر با الگوریتم‌های مختلف با کمک نرمافزار MATLAB 2017a MATLAB پیش‌بینی شد. در این فرآیند مقایسه تیمارها با استفاده از تصاویر تهیه شده از روی کرت‌های آزمایشی به منظور تعیین و تحلیل پایداری خاکدانه‌ها تلخیج شده و نشده با سیانوباکتری‌های در خاک شور و سدیمی مدنظر قرار گرفت.

مواد و روش‌ها

به منظور اثرباری تلخیج سیانوباکتری بر پایداری خاکدانه‌ها و کاهش تخریب سطح خاک شور و قلیایی، نیاز به بهره‌گیری از سیانوباکتری‌های بومی و سازگار با شرایط منطقه در راستای حفظ تعادل زیستی و افزایش استقرار آن‌ها می‌باشد. بدین‌منظور سیانوباکتری‌ها از نمونه‌های خاک برداشت شده از سطح خاک منطقه مدنظر استخراج شدند. برای این منظور نمونه‌برداری به صورت تصادفی از عمق صفر تا دو سانتی‌متری از منطقه اینچه‌برون به دلیل شور و قلیایی بودن خاک منطقه انجام شد.

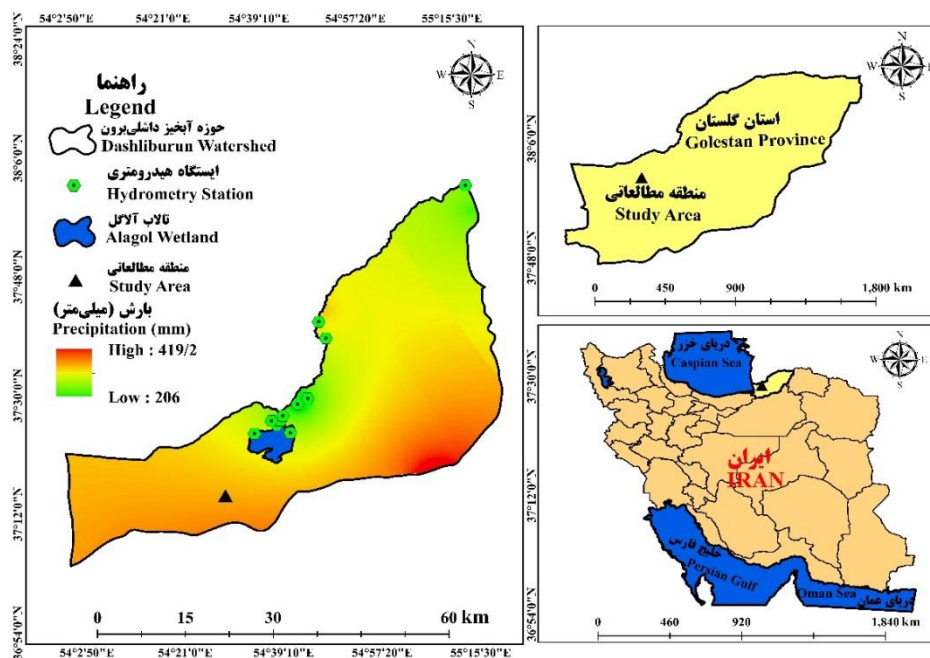
منطقه نمونه‌برداری در اینچه‌برون با موقعیت ۵۴ درجه ۲۹ دقیقه طول شرقی و ۳۷ درجه ۷ دقیقه عرض شمالی و در ۴۰ کیلومتری شمال شهرستان گرگان و ۲۵ کیلومتری شمال آق‌قلاء قرار گرفته است. این منطقه جزء مراتع قشلاقی استان گلستان بوده و

تیمارهای تلخیج جداگانه و ترکیبی سیانوباکتری‌ها و باکتری‌ها با ترشح پلی‌ساقاریدها و درنتیجه پایداری خاکدانه‌ها به طور معنی‌داری ($P < 0.01$) به ترتیب ۹۹/۶۵، ۹۹/۹۱ و ۱۰۰ درصد از هدررفت خاک در مقایسه با تیمار شاهد کاهش دادند (۲۶). صادقی و همکاران (۲۰۲۳ ب) در یک مطالعه مرسوری به بررسی رابطه بین ریز موجودات خاک‌زی در هدررفت خاک و کترول رواناب پرداختند. تحلیل بیش از ۷۷ مقاله بررسی‌شده نشان داد که استفاده از ریز موجودات خاک‌زی در کترول رواناب و هدررفت خاک مؤثر بوده است. در ۸۲ درصد از پژوهش‌های منتشرشده بین‌المللی، استفاده از سیانوباکتری‌ها برای حفظ منابع آب و خاک ترجیح داده و یا توصیه شده است (۲۷).

پیشینه پژوهشی بیانگر آن است که نقش سازنده ریز موجودات خاک‌زی به عنوان یک رویکرد پایدار برای احیای خاک‌های تخریب شده با استفاده از سیانوباکتری‌ها در سال‌های اخیر در مباحث بوم‌شناسی بسیار موردنوجه قرار گرفته است. در پژوهش‌های صورت گرفته نقش ریز موجودات خاک‌زی به‌ویژه سیانوباکتری‌ها، باکتری‌ها و قارچ‌ها در پایداری خاکدانه‌ها، افزایش مقاومت کششی و برشی ذرات خاک و افزایش کیفیت خاک برای حضور و رشد سایر موجودات و پوشش‌گیاهی به اثبات رسیده است. با این حال، رویکردهایی که از طریق آن‌ها تلخیج میکروبی برای احیای خاک‌های تخریب شده استفاده می‌شود، هنوز متنوع و یک موضوع چالش‌برانگیز است. علاوه‌بر این امروزه با پیشرفت فناوری، پژوهش‌گران سعی در ارائه روش‌های جدید و بسیار آسان‌تر، سریع‌تر و ارزان‌تر برای اندازه‌گیری پارامترهای مختلف با پردازش تصویر دارند (۲۵) که دقیق، سریع و غیرمخرب است (۲۸). پردازش تصویر روشی ساده برای اندازه‌گیری پارامترهای مختلف قابل ارزیابی برای به حداقل رساندن خطاهای است. از این‌رو

اینچه‌برون ۲۹۱ میلی‌متر بوده و ریزش باران به‌طور عمده طی ماه‌های آبان تا اردیبهشت و حداقل آن در بهمن و برابر با $27/5$ میلی‌متر است. میانگین سالانه درجه حرارت روزانه در ایستگاه هواشناسی اینچه‌برون $17/06$ درجه سانتی‌گراد، گزارش شده است. شکل ۱ نمایی از منطقه مورد مطالعه در اینچه‌برون، استان گلستان را نشان می‌دهد.

معرف مراتع شور این استان است. ارتفاع متوسط اراضی این منطقه از سطح دریای آزاد حدود ۱۰ متر است. آب‌وهوا ایستگاه هواشناسی اینچه‌برون، گرم و خشک بوده و دوره کم باران در این ناحیه عموماً از خرداد تا مهر بوده و بر اساس دیاگرام آمبروترومیک ایستگاه ذکر شده، دوره خشک سال در آن هشت تا نه ماه است. میانگین بارندگی سالیانه در ایستگاه



شکل ۱- نمایی از منطقه مورد مطالعه و برداشت نمونه در اینچه‌برون استان گلستان.

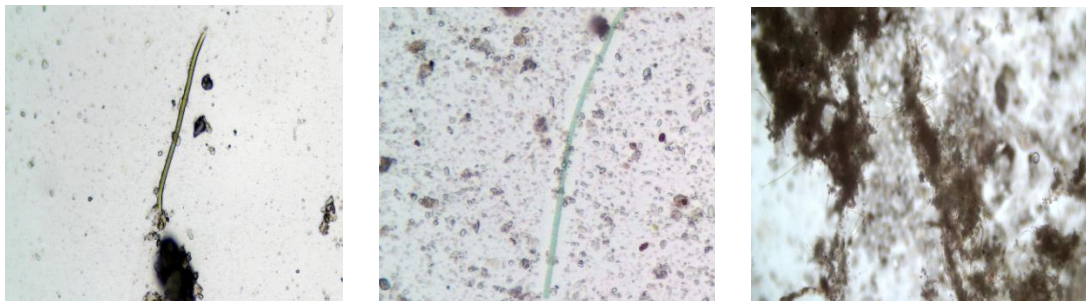
Figure 1. A view of the study area and sample collection in Incheh Borun, Golestan Province, Iran.

سیانوباتری‌ها با اضافه کردن محیط کشت به ظروف پتری حاوی یک گرم از نمونه خاک و با استقرار لامل‌های 20 در 20 میلی‌متر روی خاک انجام شده و پس از رشد و مشاهده سیانوباتری‌ها روی لامل‌ها اقدام به شناسایی بر مبنای ریخت‌شناسی آن‌ها از طریق میکروسکوپ نوری و سپس انتقال جنس‌های انتخاب شده به محیط کشت‌های مایع شدند (26 ، 29 و 31). انتخاب جنس‌های مفید سیانوباتری‌ها بر مبنای توان زنده‌مانی، توان ترشح مواد چسبنده پلی‌ساقاریدی، رشد شبکه‌ای، تبدیل مواد غذایی به حالت‌های قابل استفاده برای سایر ریزموجودات،

پس از برداشت، نمونه‌های خاک منطقه مورد مطالعه به آزمایشگاه منتقل و تا قبل از انجام آزمایش‌ها در دمای چهار درجه سانتی‌گراد نگه‌داری شدند. سپس نمونه‌های خاک در زیر هود کاملاً استریل، به ذرات با قطر کمتر از دو میلی‌متر تبدیل و برای کاهش انحراف و خطأ در مراحل جداسازی و شناسایی سیانوباتری‌ها، تمام نمونه‌های خاک به میزان 100 گرم با هم مخلوط شدند (26 و 29). برای کشت و استخراج سیانوباتری‌های نمونه‌ها از محیط کشت عمومی Bold Basal با بهترین کارایی و با کمترین هزینه استفاده شد (16). فرآیند کشت

pH نمونه خاک منطقه مطالعاتی و مشخص کردن خاک با دو شوری متفاوت در منطقه، اقدام به جاگذاری کرت‌ها در منطقه مورد مطالعه شد. بدین‌منظور اقدام به ساخت و تهیه کرت‌هایی با ابعاد یک در یک شده و در منطقه مطالعاتی جاگذاری شدند. پس از آماده‌سازی کرت‌ها، سیانوباکتری‌های تکثیر شده با تعداد حدود 10^{10} تا 10^{12} سلول در لیتر به صورت تصادفی روی کرت‌ها پاشیده شدند. نمونه‌ای از تصاویر میکروسکوپی سیانوباکتری‌های تلقيق شده در شکل ۲ نمایش داده شده است.

گستره حضور زیاد در مناطق مختلف، تحمل شرایط سخت و همچنین عدم بیماری‌زا بودن برای انسان و سایر موجودات است. بر اساس آزمایش‌های انجام‌شده، دو جنس سیانوباکتری *Nostoc sp.* و *Oscillatoria sp.* که بیشترین غالبیت در بین گزینه‌های مهم و نهایی برای تلقيق را داشتند انتخاب شدند. به‌منظور تلقيق سیانوباکتری‌های انتخاب شده در سطح خاک، اقدام به تکثیر سیانوباکتری‌های شناسایی و انتخاب شده به تعداد 10^{10} تا 10^{12} سلول در لیتر شد (۲، ۱۵، ۲۶، ۲۹ و ۳۲). پس از انجام آزمایش EC و

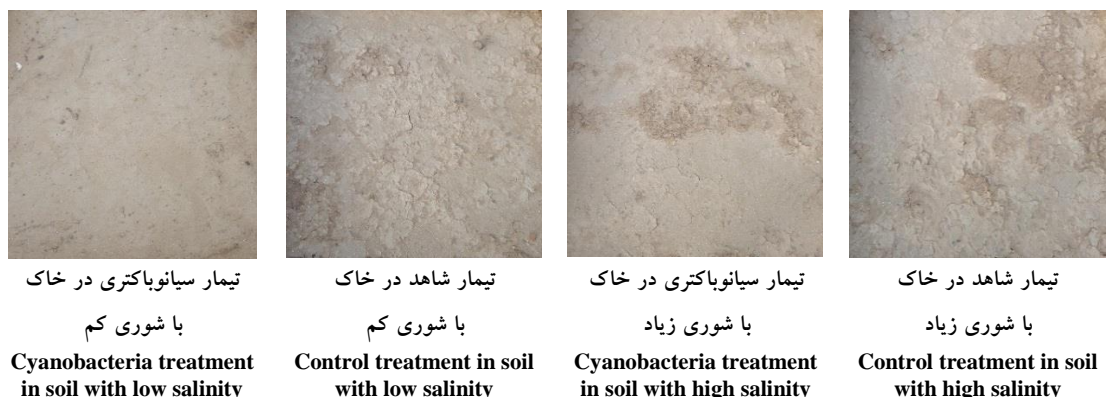


شکل ۲- نمونه‌ای از تصاویر میکروسکوپی سیانوباکتری تلقيق شده.

Figure 2. Example of the microscopic images of inoculated cyanobacteria.

تلقيق سیانوباکتری‌ها بودند به همین دلیل از دو تکرار استفاده شد. به‌نحوی که ویژگی‌های طیفی سطحی خاک به‌خوبی نشان داده شود. در ادامه تصاویر تهیه شده به صورت مربع بدون وجود سایه و یا اشیای دیگر ویرایش و باقدرت تفکیک 500×500 پیکسل و بعد تقریبی پنج سانتی‌متر با توجه به ابعاد کرت‌ها و در گام اول ورود به نرم‌افزار، به مقیاس خاکستری (با سطح روشنایی صفر تا ۲۵۵) تبدیل شدند. در این پژوهش آنtrap و انحراف معیار هر تصویر در مقیاس خاکستری محاسبه شد و نیز از الگوریتم‌های Entropy filtering و std filtering به‌منظور مقایسه بهتر تصاویر استفاده شد (۳۳، ۳۴). نمونه‌ای از تصاویر آماده‌شده از تیمارها برای ورود به نرم‌افزار در شکل ۳ ارائه شده است.

برای پردازش تصویر با استفاده از نرم‌افزار MATLAB و تعریف چند الگوریتم مختلف در پژوهش فعلی ابتدا مبادرت به تهیه تصویر با کیفیت بالا و در شرایط مناسب نوری مشابه در ساعت ۹ تا ۱۱ صبح به سبب وجود نور متعادل از فاصله معین و ثابت به‌طور کاملاً عمود از سطح خاک شد. پژوهش حاضر در شرایط صحراوی و میدانی و هر یک با سه تکرار و با اهداف اصلی مختلف و از جمله پایداری خاک‌دانه‌ها پیش‌بینی شده بود. بر همین اساس این روند با تکرار کافی و شرایط مطلوب مبتنی بر افزایش پایش و تکرار عکس‌برداری پیش‌بینی شده بود ولی متأسفانه امکان این موضوع به سبب بارش سیل آسا در منطقه و تخریب کامل کرت‌های آزمایشی و فوت ناگهانی نگهبان فراهم نشد. ولی با توجه به تعداد تصاویر تهیه شده که به خوبی نمایان‌گر اثر مثبت

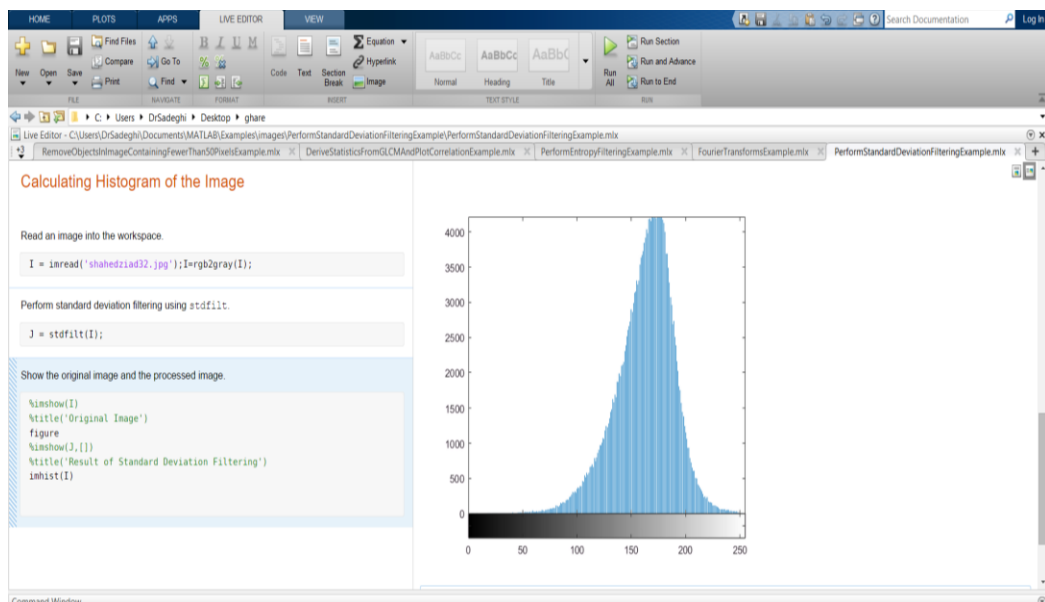


شکل ۳- نمونه تصاویر آمده شده از سطح خاک تلقیح شده با سیانوبکتری و شاهد در دو سطح شوری متفاوت.

Figure 3. Examples of prepared images of soil surface inoculated with cyanobacteria and control at two different salinity levels.

تعداد پیکسل‌ها با هر سطح روشنایی را نشان می‌دهد. تصاویری از محیط کار نرم‌افزار در شکل ۴ ارائه شده است. سپس حداقل و حداکثر سطح روشنایی باقابیت تفکیک متناسب با تعداد حداقل و حداکثر مساحت پیکسل‌های موجود در تصویر تعیین و نتایج مربوطه به صورت عدد، نمودار و شکل نمایش داده شدند.

ابتدا تصاویر رنگی به تصاویر خاکستری با سطح‌بندی روشنایی از صفر تا ۲۵۵ که پیکسل‌های سفید با مقدار ۲۵۵ روشنایی کامل و پیکسل‌های تیره با مقدار صفر با تیرگی کامل تبدیل شدند و سپس هیستوگرام معادل شدت روشنایی تصاویر تهیه و ترسیم شد. به این ترتیب که در هیستوگرام‌ها محور افقی سطح روشنایی از صفر تا ۲۵۵ و محور عمودی



شکل ۴- نتایج به دست آمده از پردازش تصویر در نرم‌افزار MATLAB

Figure 4. Results obtained from image processing in MATLAB software.

۶۰ روز و بیشتر رشد می‌کنند، رواناب و هدررفت فرسایش خاک کاهش می‌یابد (۳۱، ۳۸، ۳۹ و ۴۰). بر همین اساس، بهمنظور حداکثر اثرگذاری سیانوباکتری‌ها در محیط خاک (۲، ۳۸ و ۴۱) پس از گذشت ۵۰ روز از تلقيق سیانوباکتری‌ها بر سطح خاک نتایج به دست آمده از مشاهده چشمی ریخت‌سنگی سطح خاک تیمار تلقيق شده با سیانوباکتری و تیمار شاهد در شوری‌های متفاوت نشان داد که در خاک با شوری کم ($5/6$ میلی‌زیمنس بر سانتی‌متر) سطح تیمار شاهد نسبت به تیمار تلقيق شده با سیانوباکتری حالت پف‌کرده و بهم‌ریختگی ذرات خاک داشت (شکل ۳). هم‌چنین تیمارهایی که در خاک با شوری بیشتر ($15/4$ میلی‌زیمنس بر سانتی‌متر) قرار داشتند نسبت به دو تیمار که در شوری کمتر قرار داشتن حالت پف‌شده‌گی و ترک‌های ریز بیشتری داشتند. البته در تیمارهای شور تیمار تلقيق شده با سیانوباکتری مقدار به‌هم‌ریختگی و پف‌شده‌گی خاک نسبت به تیمار شاهد کم‌تر بود (شکل ۳).

در پژوهش حاضر، انحراف استاندارد پیکسل‌های تصویر یا انحراف معیار دو بعدی، اندازه‌گیری پراکنده‌گی شدت سطح خاکستری تصویر را ارائه می‌دهد و می‌تواند به عنوان معیاری از سطح توان جزء سیگنال متناوب به دست آمده توسط دوربین لحاظ شود. آنتروپی یک تصویر نیز معیاری برای میزان تصادفی بودن تصویر است. بنابراین انتظار کلی این است که در صورت تثبیت خاکدانه‌ها، انحراف استاندارد پیکسل‌های تصویر و آنتروپی تصاویر، مقدار کم‌تری نسبت به وضعیت عدم تثبیت خاکدانه‌های سطح خاک داشته باشند. با توجه به نتایج به دست آمده در جدول ۱، انحراف استاندارد پیکسل‌های تصویر و آنتروپی به دست آمده در تیمار تلقيق شده با سیانوباکتری نسبت به تیمار شاهد کم‌تر است که این اختلاف در خاک‌ها با شوری بیشتر مقدار آن کاهشی است.

تحلیل‌های آماری: به منظور انجام مقایسه‌های آماری، ابتدا نرم‌الله بودن داده‌ها با استفاده از آزمون Shapiro-Wilk بررسی شد. داده‌های غیرنرم‌الله با استفاده از روش لگاریتم با پایه ۱۰ و یا روش‌های اصلاحی لگاریتمی به حالت نرم‌الله تبدیل شدند. هم‌چنین آزمون همگنی واریانس‌ها نیز به عنوان یکی از ملزومات اولیه تجزیه و تحلیل داده‌ها بررسی شد. برای این منظور از آزمون Levene به سبب کمترین میزان حساسیت به نرم‌الله بودن داده‌ها و مناسب‌ترین آزمون برای داده‌های کم استفاده شد. پس از برقراری شرط‌های طرح شده، تجزیه و تحلیل و مقایسه میانگین‌ها با استفاده از آزمون t جفتی انجام شد. همه آزمون‌های آماری فوق برای تجزیه و تحلیل داده‌ها در محیط نرم‌افزار SPSS 21 انجام شد.

نتایج و بحث

نتایج حاصل از روش پردازش تصویر با نرم‌افزار MATLAB با پنج الگوریتم متفاوت و مناسب برای مقایسه پایداری و تثبیت سطح خاک شور و قلیایی با دو تیمار تلقيق شده با سیانوباکتری و تیمار شاهد در دو سطح شوری خاک با دو تکرار در جدول ۱ ارائه شده است.

بنلپ و الدریج (۲۰۰۳) بیان کردند که پوسته‌های زیستی به اختلالات بسیار حساس هستند و زمان بازیابی آن‌ها در شرایط طبیعی در مناطق خشک و نیمه‌خشک معمولاً بین دهه‌ها تا هزاره‌ها است (۳۵ و ۳۶). با این حال، زمان بازیابی را می‌توان با تلقيق درجا خاک با گونه‌های پوسته زیستی، مانند سیانوباکتری‌ها، در بوم‌سازگان خشک و نیمه‌خشک تخریب شده افزایش داد (۳۷). هم‌چنین زمان توسعه پوسته‌های زیستی نقش مهمی در مزایای داده شده به آن‌ها در خاک دارد. حفاظت از فرسایش خاک توسط سیانوباکتری به طور مثبت با سن پوسته‌های زیستی مرتبط است. هنگامی که سیانوباکتری‌ها به مدت ۴۵ تا

جدول ۱- نتایج حاصل از نرم‌افزار MATLAB با الگوریتم‌های مختلف در تیمارهای تلچیغ شده با سیانوباکتری و شاهد در دو سطح شوری متفاوت.

Table 1. The results of MATLAB software with different algorithms in treatments inoculated with cyanobacteria and control at two different salinity levels.

تیمار شاهد در خاک با شوری زیاد	تیمار سیانوباکتری در خاک با شوری کم	تیمار شاهد در خاک با شوری کم	تیمار سیانوباکتری در خاک با شوری کم	
Cyanobacteria treatment in soil with low salinity	Control treatment in soil with low salinity	Cyanobacteria treatment in soil with high salinity	Control treatment in soil with high salinity	
انحراف استاندارد Standard deviation	14.3642	18.5823	18.1424	
آنتروپی تصویر Image entropy	6.0796	6.1932	6.1723	
انحراف استاندارد فیلتر شده Std filtering				
هیستوگرام Histogram				
آنتروپی فیلتر شده Entropy filtering				
انحراف استاندارد Standard deviation	11.0886	22.0518	22.7013	
آنتروپی تصویر Image entropy	5.4183	6.4673	6.4746	
انحراف استاندارد فیلتر شده Std filtering				
هیستوگرام Histogram				
آنتروپی فیلتر شده Entropy filtering				

جدول ۲- نتایج سطح معنی‌داری حاصل از آزمون t جفتی بر انحراف استاندارد و آنتروپی تصویر در کرت‌های تیمار شده با سیانوباکتری و شاهد.

Table 2. The results of the significance level of the paired T-test on the standard deviation and entropy of the image in the plots treated with cyanobacteria and control.

مؤلفه موردبررسی Checked variable	انحراف معیار Standard deviation	اشتباه معیار Criterion error	درجه آزادی Degree of freedom (df)	آماره t t-Value	سطح معنی‌داری Significance level
انحراف استاندارد Standard deviation	4.957	2.478	3	6.146	0.009
آنتروپی تصویر Image entropy	0.443	0.221	3	-1.758	1.177

تیمارهای تلقیح شده نسبت به تیمار شاهد بیشتر است. همچنین در تیمارها با شوری بیشتر نسبت تیرگی پیکسل‌ها در تیمار تلقیح شده کمتر از تیمار با شوری کمتر است که می‌توان نتیجه گرفت در تیمارهای با شوری کمتر عملکرد تلقیح سیانوباکتری‌ها بهتر از تیمارهای با شوری بیشتر است و ثبیت خاکدانه‌ها بیشتر است. البته در تیمارهای با شوری بیشتر عملکرد تیمار تلقیح شده نسبت به تیمار شاهد بهتر بوده است. همان‌طور که در بالا نیز اشاره شد در مشاهده چشمی نیز تفاوت‌های ثبیت خاک سطحی کاملاً مشهود است که پردازش تصویر نیز آن را تائید کرد. در این راستا، خیرفام و روحی (۲۰۲۰) Nostoc sp. و Oscillatoria sp. نشان دادند سیانوباکتری رشته‌ای و تولیدکننده پیشگام در خاک، با ترشح اگزوپلی‌ساقارید سبب اتصال ذرات خاک و افزایش پایداری خاک و بهبود ویژگی‌های سطحی خاک در مناطق خشک و تخریب شده می‌شوند (۴۲). علاوه بر این هر هیستوگرام نیز بیانگر توزیع مقدار در مقیاس خاکستری است که فراوانی و قوع هر مقدار در سطح خاکستری را نشان می‌دهد. همچنین در خصوص هیستوگرام، انتظار می‌رود نمودار دارای کشیدگی بیشتر (ماکریم بزرگتر) در وضعیت ثبیت شده باشد و نیز با توجه به این که در خاکدانه‌های

بر اساس داده‌های جدول‌های ۱ و ۲ نتایج بیانگر این است که مقدار انحراف استاندارد پیکسل‌ها و آنتروپی تصاویر حاصل از پردازش تصویر در تیمارها با سطح شوری کمتر نسبت به تیمارها با سطح شوری بیشتر، میانگین مقدار انحراف استاندارد پیکسل‌های تصاویر در تیمار تلقیح شده با سیانوباکتری به ترتیب $37/36$ و $14/55$ درصد نسبت به تیمار شاهد به صورت معنی‌دار ($P < 0.01$) کاهش داشته است. همچنین میانگین آنتروپی تصاویر نیز در تیمار تلقیح شده با سیانوباکتری به ترتیب $9/18$ و $3/04$ درصد نسبت به تیمار شاهد به صورت غیرمعنی‌دار ($P > 0.01$) کاهشی به دست آمد.

همچنین در Std filtering پیکسل‌های روشن‌تر در تصویر فیلتر شده با همسایگی‌های تصویر اصلی با انحرافات استاندارد بزرگ‌تر مطابقت دارد و در Entropy filtering، پیکسل‌های روشن‌تر در تصویر فیلتر شده مربوط به همسایگی تصویر اصلی با آنتروپی بالاتر است. بنابراین انتظار می‌رود در وضعیت ثبیت شده نسبت به وضعیت ثبیت نشده قسمت‌های روشن کمتری داشته باشند. یعنی در وضعیت ثبیت شده سطح خاک انحراف معیار دو بعدی و نیز آنتروپی تصویر کمتر است. با توجه به شکل‌های جدول ۱ استنباط می‌شود که پیکسل‌های تیره در

به دلیل عدم وابستگی غذایی به محیط قابلیت احیا پس از تحمل شرایط دشوار را دارند. به گونه‌ای که توانایی فعالیت در pH بین چهار تا ۱۱ و دمای ۸۰-۵۵ تا درجه‌ی سانتی‌گراد و مقاومت در برابر تنش‌های مختلف را دارند (۱۸، ۲۶، ۲۷، ۲۹، ۵۰، ۵۱ و ۵۲) سیانوباکتری‌ها رشتۀ‌هایی برای حرکت و دست‌یابی به نور و زندگی و تکثیر در شرایط نامناسب محیطی دارند (۲۰، ۲۶، ۲۷، ۲۹ و ۵۳). آن‌ها با تحرک جانبی در سطح خاک (۵۴) و یا عمودی (۵۵) برای پراکندگی و محافظت در برابر تابش زیاد حرکت می‌کنند (۵۳). علاوه بر این، متabolism (سوخت‌وساز) سیانوباکتری‌ها با چرخه‌های هیدراتاسیون و خشک شدن معمولی در بیابان‌ها سازگار است (۵۶) و هنگامی که آب در دسترس است، مانند زمان وقوع شبمن، فعال می‌شوند (۵۷). سیانوباکتری‌ها قادر به تحمل دماهای بالا و اشعه ماورای بنفش با تولید رنگدانه‌های غربالگر UV مانند سیتومنین هستند (۵۸). آن‌ها دارای سامانه خودتغذیه‌ای بوده که باعث تبدیل مواد معدنی به مواد آلی می‌شوند که می‌توانند مواد غذایی ریزموجودات خاک‌زی دگر تغذیه را تأمین کرده و بستر فعالیت و تکثیر بیشتر آن‌ها را فراهم نمایند. بنابراین این فرایند می‌تواند به ظهور و احیای بعدی موجودات زنده و گیاهان نیز کمک نماید.

بر همین اساس، در صورت وجود تعداد ریزموجودات در واحد سطح، ذرات خاک به هم دیگر متصل و باعث افزایش مقاومت برشی سطح خاک و پایداری خاکدانه‌ها (۲۳، ۵۹ و ۶۰) می‌شوند. هرچند سیانوباکتری‌ها در بانک ریزموجود خاک موردمطالعه وجود داشت، ولی به سبب جمعیت کم‌تر سیانوباکتری‌ها و تعداد کم در واحد سطح، میزان اثرگذاری آن‌ها در اتصال ذرات بسیار کم بود. بنابراین پس از تلقیح سیانوباکتری‌ها به تیمار مذکور به سرعت تکثیر کرده و با افزایش تعداد سیانوباکتری‌ها در واحد

تشییت‌نشده، قسمت‌های تیره‌رنگ بیشتری در تصویر سطح خاکستری اولیه نسبت به وضعیت تشییت‌نشده وجود دارد انتظار می‌رود نمودار هیستوگرام بیشتر متمایل به قسمت‌های پایین‌تر سطح روشنایی باشد و علاوه بر آن از وضعیت نرمال دور و دارای چولگی به سمت چپ باشد. همان‌طور که در شکل‌های جدول ۱ مشاهده می‌شود نمودار هیستوگرام در تیمارهای تلقیح شده با سیانوباکتری توزیع نرمال و منحنی کشیده‌تر بوده و تیمارهای شاهد منحنی کشیدگی کم‌تر، چوله به چپ و منفی که نشانگر سطح روشن بوده است.

بررسی‌ها نشان داده‌اند که افزایش جمعیت سیانوباکتری‌ها با تلقیح در سطح خاک باعث افزایش ترشحات پلی‌ساقاریدی شده که باعث چسبیدگی خاکدانه‌ها و ساختارهای ریز خاک به یکدیگر و تشکیل ذرات و بزرگ ساختارهایی از خاک شده (۴۳) و افزایش پایداری خاکدانه‌ها و آستانه فرسایش‌پذیری خاک (۲، ۳۲، ۴۴، ۴۵ و ۴۷) می‌شود. هم‌چنین پلی‌ساقاریدهای ترشح شده باعث تأمین منابع غذایی برای سایر ریزموجودات خاک‌زی و افزایش فعالیت آن‌ها می‌شود (۴۸). از سویی دیگر سیانوباکتری‌های Oscillatoria sp. و Nostoc sp. که مؤثر در اتصال خاکدانه‌ها به یکدیگر هستند اغلب به صورت چسبیده در اطراف خاکدانه‌ها توانایی تکثیر و تشکیل کلونی را داشته و با گسترش ابعادی کلونی‌ها، زنجیره‌های به هم متصلی را ایجاد می‌کنند. زنجیره‌های تشکیل و گسترش‌یافته نیز خاکدانه‌های اطراف خود را با خاصیت چسبیدگی خود به هم متصل کرده و خاکدانه‌ها قابلیت ثبات و پایداری قابل توجهی خواهند داشت (۳۸ و ۴۹). از طرفی نتایج پژوهش‌های بنیادی و زیست‌شناسی نشان می‌دهد که سیانوباکتری‌ها قابلیت بالایی برای زیست در شرایط نامناسب و توانایی تحمل محیط‌های سخت را داشته و

تنظیمات اسمزی، یونی و وجود املاح پروتئینی و سازگار و همچنین وجود غلاف ژلاتینی نسبت به تنش شوری مقاومت می‌کنند و اجزا می‌دهند آن‌ها در شرایط بسیار نامساعد محیطی از طریق واکنش‌های منحصر به‌خود تکثیر و ایجاد شوند. بنابراین این یافته‌ها بینش‌هایی را در مورد بهبود پایداری و تثبیت خاکدانه‌های سطح خاک شوری ارائه می‌دهد. با این حال، چگونگی تأثیر ریزموجودات زنده به‌خصوص سیانوباکتری‌ها بر پایداری و تثبیت سطح خاک شور نیاز به مطالعه بیش‌تر برای پیش‌بینی تثبیت خاک و جلوگیری از فرسایش و گردودخاک در آینده دارد.

تقدیر و تشکر

نویسنده‌گان از حمایت مادی صندوق حمایت از پژوهش‌گران و فناوران کشور (INsf) برگرفته از طرح شماره "۴۰۱۵۰۷" و مساعدت‌های دانشکده منابع طبیعی دانشگاه تربیت مدرس برای انجام این پژوهش سپاسگزار هستند. همچنین از داوران محترم این مقاله که با نظرات و پیشنهادهای خود موجب بهبود متن حاضر شده‌اند تشکر می‌نمایند.

داده‌ها، اطلاعات و دسترسی

داده‌های این پژوهش مربوط به طرح پسادکتری نویسنده اول می‌باشد که با مکاتبه با نویسنده مسئول قابل دسترسی می‌باشند.

تعارض منافع

در این مقاله تعارض منافعی وجود ندارد و این مسئله مورد تأیید همه نویسنده‌گان است.

مشارکت نویسنده‌گان

مشارکت نویسنده‌گان در این متن به شکل ذیل است:

سطح و با چسبیدن به اطراف ذرات ریز خاک و همچنین ترشح پلی‌ساقارید باعث ایجاد اتصال قوی بین ذرات خاک و افزایش آستانه جداش و حرکت ذرات خاک شده‌اند. مطالعات اخیر از جمله چی و همکاران، (۲۰۲۰) و لان و همکاران، (۲۰۲۲) تأیید می‌کند که تلقیح سیانوباکتری‌ها می‌تواند به‌طور مؤثری باعث توسعه پوسته‌های زیستی خاک در زمین‌های خشک تخریب‌شده شود (۶۱ و ۶۲). سیانوباکتری‌ها به‌دلیل داشتن قابلیت تنظیمات اسمزی، یونی و وجود املاح پروتئینی و سازگار و همچنین وجود غلاف ژلاتینی در غالب محیط‌های آبی و خاکی و حتی در قطب‌های شمال و جنوب نیز یافت می‌شوند (۶۳ و ۶۴). سیانوباکتری‌ها در برابر تنش‌های مختلف محیط‌زیستی از جمله درجه حرارت پایین، خشکی، اشعه ماورای بنفش، انجماد و تنش‌های دیگر مقاومت می‌کنند (۲۹، ۵۰ و ۶۳).

نتیجه‌گیری

این مطالعه نشان می‌دهد که یک اثر آستانه در پاسخ مربوط به اثر سیانوباکتری‌ها در خاک‌های شور و قلیایی وجود دارد. به‌طوری‌که تلقیح سیانوباکتری‌ها می‌تواند بر تثبیت و پایداری خاکدانه‌های سطح خاک با شوری کم (۵/۶ میلی‌زیمنس بر سانتی‌متر) اثر معنی‌دار و مثبتی داشته باشد. درحالی‌که در شوری بالا (۱۵/۴ میلی‌زیمنس بر سانتی‌متر) نسبت به شوری کم تأثیر کم‌تری داشته است. به‌نوعی می‌توان بیان کرد خاک‌های با شوری کم‌تر نسبت به تلقیح سیانوباکتری‌ها پاسخ متفاوت و بهتری نسبت به شوری بالا نشان دادند. ولی در هر صورت تلقیح سیانوباکتری‌ها در نمونه‌های تیمار شده نسبت به نمونه‌های تیمار نشده با سیانوباکتری در هر دو حالت با شوری کم و با شوری زیاد اثر مثبت و معنی‌داری داشته است. سیانوباکتری‌ها به‌دلیل داشتن قابلیت

اصول اخلاقی

نویسنده‌گان اصول اخلاقی را در انجام و انتشار این اثر عملی رعایت نموده‌اند و این موضوع مورد تأیید آن‌ها می‌باشد.

حمایت مالی

این پژوهش با حمایت مالی صندوق حمایت از پژوهش‌گران و فناوران کشور (INsf) برگرفته از طرح شماره "۴۰۱۵۰۰۷" صورت گرفته است.

نویسنده اول: روش‌شناسی و جمع‌آوری داده‌ها و اطلاعات، بازدیدهای میدانی، مشارکت در آنالیزها، نگارش مقاله.

نویسنده دوم: طرح تحقیق و روش‌شناسی، اصلاح و نهایی‌سازی مقاله، مشارکت در آنالیزها، نظارت تحقیق.

نویسنده سوم: روش‌شناسی اطلاعات، برنامه‌نویسی و استخراج داده‌های مرتبط با پردازش تصاویر و اصلاح مقاله.

منابع

- Ashgevar Heydari, M., Sadeghi, S. H. R., & Jafarpoor, A. (2023). Hydrological properties of rill erosion on a soil from a drought-prone area during successive rainfalls as a result of microorganism inoculation. *Sustainability*, 15 (19), 14379.
- Sadeghi, S. H. R., Kheirfam, H., & Zarei Darki, B. (2020a). Controlling runoff generation and soil loss from field experimental plots through inoculating cyanobacteria. *Journal of Hydrology*, 124814.
- Gharemahmudli, S., Sadeghi, S. H. R., Najafinejad, A., Zarei Darki, B., Mohammadian Behbahani, A., & Kheirfam, H. (2024). Controlling enhanced surface runoff components as a result of a freezing-thawing cycle by inoculating soil bacteria and cyanobacteria. *Soil & Tillage Research*, 237, 105989.
- Kundu, S., Perinjelil, S. J., & Thakur, N. (2022). Soil salinization and bioremediation using halophiles and halotolerant microorganisms. In Mitigation of Plant Abiotic Stress by Microorganisms (pp. 231–256). Academic Press.
- Kakeh, J., Gorji, M., Sohrabi, M., Tavili, A., & Pourbabaei, A. A. (2018). Effects of biological soil crusts on some physicochemical characteristics of rangeland soils of Alagol, Turkmen Sahra, NE Iran. *Soil and Tillage Research*, 181, 152-159.
- Wu, L., Farías, M. E., Torres, R. M., Xia, L., Song, S., Saber, A. A., & Lan, S. (2022). Salinity affects microbial composition and function in artificially induced biocrusts: Implications for cyanobacterial inoculation in saline soils. *Soil Biology and Biochemistry*, 170, 108691.
- Decock, C., Lee, J., Necpalova, M., Pereira, E. I. P., Tendall, D. M., & Six, J. (2015). Mitigating N₂O emissions from soil: from patching leaks to transformative action. *Soil*, 1, 687-694.
- Rengasamy, P. (2006). World salinization with emphasis on Australia. *Journal of Experimental Botany*, 57, 1017-1023.
- Yan, N., Marschner, P., Cao, W., Zuo, C., & Qin, W. (2015). Influence of salinity and water content on soil microorganisms. *International soil and water conservation Research*, 3 (4), 316-323.
- Brevik, E. C., Cerdà, A., Mataix-Solera, J., Pereg, L., Quinton, J. N., Six, J., & Van Oost, K. (2015). The interdisciplinary nature of SOIL. *Soil*, 1 (1), 117-129.
- Pulido Moncada, M., Gabriels, D., Cornelis, W., & Lobo, D. (2015). Comparing aggregate stability tests for soil physical quality indicators, *Land Degradation and Development*, 26 (8), 843-852.
- Belnap, J., & Lange, O. L. (2013). Biological soil crusts: Structure, function, and management. Vol. 150, Springer Science and Business Media, 506 p.

13. Buscot, F., & Varma A. (2006). Microorganisms in soils: roles in genesis and functions. Vol. 3, Springer Science and Business Media, 422 p.
14. Chamizo, S., Cantón, Y., Lázaro, R., Solé-Benet, A., & Domingo, F. (2012). Crust composition and disturbance drive infiltration through biological soil crusts in semiarid ecosystems. *Ecosystems*, 15, 148-161.
15. Sadeghi, S. H. R., Sadeghi Satri, M., Zarei Darki, B., & Kheirfam, H. (2020b). Runoff and soil loss from small plots of erosion-prone marl soil inoculated with bacteria and cyanobacteria under real conditions, *European Journal of Soil Biology*, 101, 103214.
16. Jafarpoor, A., Sadeghi, S. H. R., Homaei, M., & Zarei Darki, B. (2023). Effect of different culture media on the growth of soil cyanobacteria for soil and water conservation, *Applied Soil Research*. 11 (2), 71-81. [In Persian]
17. Oren, A. (2004). A proposal for further integration of the cyanobacteria under the Bacteriological Code. *International Journal of Systematic and Evolutionary Microbiology*, 54 (5), 1895-1902.
18. Moller, C. L., Vangsgåe, M. T., & Sand-Jensen, K. (2014). Comparative growth and metabolism of gelatinous colonies of three cyanobacteria, *Nostoc commune*, *Nostoc pruniforme*, and *Nostoc zetterstedtii*, at different temperatures. *Freshwater Biology*, 59, 2183-2193.
19. Johnson, A. F., Baker, W. W., Anderson, L. C., Gholson, Jr. A. K. (2013). Flora of calcareous upland glades in Gadsden and Jackson counties, Florida. *Journal of the Botanical Research Institute of Texas*, 7, 475-494.
20. Méjean, A., Mann, S., Maldiney, T., Vassiliadis, G., Lequin, O., & Ploux, O. (2009). Evidence that biosynthesis of the neurotoxic alkaloids anatoxin-a and homoanatoxin-a in the cyanobacterium *Oscillatoria PCC 6506* occurs on a modular polyketide synthase initiated by L-proline. *Journal of the American Chemical Society*, 131, 7512-7513.
21. Parikh, A., & Madamwar, D. (2006). Partial characterization of extracellular polysaccharides from cyanobacteria, *Bioresource Technology*, 97, 1822-1827.
22. Rossi, F., Li, H., Liu, Y., & De Philippis, R. (2017). Cyanobacterial inoculation (cyanobacterisation): Perspectives for the development of a standardized multifunctional technology for soil fertilization and desertification reversal. *Earth-Science Reviews*, 171, 28-43.
23. Kakeh, J., Gorji, M., Mohammadi, M. H., Asadi, H., Khormali, F., Sohrabi, M., & Cerdà, A. (2020). Biological soil crusts determine soil properties and salt dynamics under arid climatic condition in Qara Qir, Iran. *Science of the total environment*, 732, 139168.
24. Sepehr, A., Hassanzadeh, M., & Rodriguez-Caballero, E. (2019). The protective role of cyanobacteria on soil stability in two aridisols in northeastern Iran. *Geoderma Regional*, 16, 1-10.
25. Gharemahmudli, S., Sadeghi, S. H. R., Sadeghi, V. S., Najafinejad, A., & Jafarpoor, A. (2022). Morphometrical analysis of cracks and crevices on a cyanobacterized soil surface subjected to a freeze-thaw cycle using image processing. *Catena*, 213, 106150.
26. Sadeghi, S. H. R., Heydari, M. A., & Jafarpoor, A. (2023b). Inhibitability of soil loss and sediment concentration during consecutive rainfalls from experimental plots treated by endemic microorganisms. *International Journal of Sediment Research*. 38 (3), 446-454.
27. Sadeghi, S. H. R., Jafarpoor, A., Homaei, M., & Gharemahmudli, S. (2023a). Controllability of soil loss and runoff using soil microorganisms: A review. *Ecohydrology & Hydrobiology*.
28. Ren, J., Li, X., & Zhao, K. (2015). Quantitative analysis of relationships between crack characteristics and properties of soda-saline soils in Songnen Plain China. *Chinese Geographical Science*. 25 (5), 591-601.
29. Sadeghi, S. H., Jafarpoor, A., Homaei, M., & Gharemahmudli, S. (2023). Controllability of soil loss and runoff using soil microorganisms: A review. *Ecohydrology & Hydrobiology*.

30. Sadeghi, S. H. R., Kheirfam, H., Homaei, M., & Zarei Darki, B. (2017). Improvability of water infiltration in an erosion-prone soils under laboratorial conditions through artificial increasing of soil microorganisms population. *Journal of Water and Soil Researches (Agricultural Sciences)*, 47 (4), 797-805. [In Persian]
31. Jafarpoor, A., Sadeghi, S. H. R., Zarei Darki, B., & Homaei, M. (2022). Changes in hydrologic components from a mid-sized plots induced by rill erosion due to cyanobacterization, *Soil and Water Conservation Research*, 10 (1), 143-148.
32. Gharemahmudli, S., Najafinejad, A., Sadeghi, S. H. R., Zarei Darki, B., Mohammadian Behbahani, A., & Kheirfam, H. (2020). Reducing surface runoff from soils subjected to a freezing-thawing cycle using soil cyanobacteria, *Journal of Water and Soil Conservation*, 27 (3), 163-180. [In Persian]
33. Gonzalez, R. C., & R. E. Woods, S. L. (2003). Eddins, digital image processing using MATLAB, new jersey, Prentice Hall, Chapter 11.
34. Solomon, C., & Breckon, T. (2011). Fundamentals of Digital Image Processing: A practical approach with examples in MATLAB. John Wiley & Sons.
35. Belnap, J., & Eldridge, D. J. (2003). Disturbance and recovery of biological soil crusts. In: Belnap, J., Lange, O.L. (Eds.), Biological Soil Crusts: Structure, Function and Management. Springer, Berlin, pp. 363-383. https://doi.org/10.1007/978-3-642-56475-8_27.
36. Guida, G., Nicosia, A., Settanni, L., & Ferro, V. (2023). A review on effects of biological soil crusts on hydrological processes. *Earth-Science Reviews*, 104516.
37. Belnap, J. (1993). Recovery rates of cryptobiotic crusts: inoculant use and assessment methods. *The Great Basin Naturalist*, 53, 89-95.
38. Kheirfam, H., Sadeghi, S. H. R., Darki, B. Z., & Honaei, M. (2017). Controlling rainfall-induced soil loss from small experimental plots through inoculation of bacteria and cyanobacteria. *Catena*, 152, 40-46.
39. Bullard, J. E., Ockelford, A., Strong, C., & Aubault, H. (2018). Effects of cyanobacterial soil crusts on surface roughness and splash erosion. *Journal of Geophysical Research: Biogeosciences*, 123 (12), 3697-3712.
40. Gao, L., Bowker, M. A., Sun, H., Zhao, J., & Zhao, Y. (2020). Linkages between BSCs development and water erosion and implications for erosion model implementation. *Geoderma* 357, 113973.
41. Sadeghi, S. H. R., Kheirfam, H., Homaei, M., Zarei Darki, B., & Vafakhah, M. (2017). Improving runoff behavior resulting from direct inoculation of soil micro-organisms. *Soil and Tillage Research*, 171, 35-41.
42. Kheirfam, H., & Roohi, M. (2020). Accelerating the formation of biological soil crusts in the newly dried-up lakebeds using the inoculation-based technique. *Science of the Total Environment*, 706, 136036.
43. DeJong, J. T., Fritzges, M. B., & Nüsslein, K. (2006). Microbially induced cementation to control sand response to undrained shear. *Journal of geotechnical and geoenvironmental engineering*, 132 (11), 1381-1392.
44. Strauss, S. L., Day, T. A., & Garcia-Pichel, F. (2012). Nitrogen cycling in desert biological soil crusts across biogeographic regions in the Southwestern United States. *Biogeochemistry*, 108, 171-182.
45. Chamizo, S., Mugnai, G., Rossi, F. R., Certini, G., & De Philippis, R. (2018). Cyanobacteria inoculation improves Soil stability and fertility on different textured soils: gaining insights for applicability in soil restoration. *Frontiers in Environmental Science*, 6, 49.
46. Kuwabara, T., Iwamoto, K., Hara, H., Yamaguchi, T., Mohamad, S. E., Abdullah, N., Khudzari, J. Md., & Othman, F. S. (2021). Prevention of soil erosion using microalgae in Malaysia IOP Conference Series: *Materials Science and Engineering*, 1051, 012047.
47. Chheang, P., Min, F. T. Y., Khudzari, J. M., & Iwamoto, K. (2022). Isolation

- and characterization of filamentous biological soil crust forming algae from Malaysia. In IOP Conference Series: *Earth and Environmental Science*, 1091, 012028.
- 48.Li, X., Hui, R., Tan, H., Zhao, Y., Liu, R., & Song, N. (2021). Biocrust research in China: recent progress and application in land degradation control. *Frontiers in Plant Science*, 12, 751521.
- 49.Maquela, M. P., Mnkeni, P. N. S., Malam Issa, O., Fernández, P., Teresa, M., & D'Acqui, L. P. (2009). Nostoc cyanobacterial inoculation in South African agricultural soils enhances soil structure, fertility, and maize growth. *Plant and Soil*, 315, 79-92.
- 50.Tashyreva, D., & Elster, J. (2015). Effect of nitrogen starvation on desiccation tolerance of Arctic *Microcoleus* strains (cyanobacteria). *Frontiers in microbiology*, 6, 278.
- 51.Morsy, F. M., Elbadry, M., El-Sayed, W. S., & El-Hady, D. A. (2019). Dark and photofermentation H₂ production from hydrolyzed biomass of the potent extracellular polysaccharides producing cyanobacterium *Nostoc commune* and intracellular polysaccharide (glycogen) enriched *Anabaena variabilis* NIES-2095. *International Journal of Hydrogen Energy*, 44 (31), 16199-16211.
- 52.Dong, C., Zhang, H., Yang, Y., He, X., Liu, L., Fu, J., Shi, J., & Wu, Z. (2019). Physiological and transcriptomic analyses to determine the responses to phosphorus utilization in *Nostoc* sp. *Harmful algae*, 84, 10-18.
- 53.Roncero-Ramos, B., Muñoz-Martín, M. Á., Chamizo, S., Fernández-Valbuena, L., Mendoza, D., Perona, E., ... & Mateo, P. (2019). Polyphasic evaluation of key cyanobacteria in biocrusts from the most arid region in Europe. *PeerJ*, 7, e6169.
- 54.Sorochkina, K., Velasco Ayuso, S., & Garcia-Pichel, F. (2018). Establishing rates of lateral expansion of cyanobacterial biological soil crusts for optimal restoration. *Plant and Soil*, 429 (1-2), 199-211.
- 55.Garcia-Pichel, F., & Pringault, O. 2001. Microbiology: cyanobacteria track water in desert soils. *Nature*. 413, 380-381.
- 56.Rajeev, L., Da Rocha, U. N., Klitgord, N., Luning, E. G., Fortney, J., Axen, S. D., Shih, P. M., Bouskill, N. J., Bowen, B. P., Kerfeld, C. A., Garcia-Pichel, F., Brodie, E. L., Northen, T. R., & Mukhopadhyay, A. (2013). Dynamic cyanobacterial response to hydration and dehydration in a desert biological soil crust. *ISME Journal* 7 (11), 2178-2191.
- 57.Büdel, B., Bendix, J., Bicker, F. R., & Allan Green, T. G. (2008). Dewfall as a water source frequently activates the endolithic cyanobacterial communities in the granites of Taylor Valley, Antarctica. *Journal of Phycology*. 44 (6), 1415_1424.
- 58.Potts, M. (1994). Desiccation tolerance of prokaryotes. *Microbiological Reviews*. 58, 755-805.
- 59.Carrasco, L., Caravaca, F., Azcón, R., & Roldán, A. (2009). Soil acidity determines the effectiveness of an organic amendment and a native bacterium for increasing soil stabilisation in semiarid mine tailings. *Chemosphere*, 74 (2), 239-244.
- 60.Kakeh, J., Sanaei, A., Sayer, E. J., Hazhir, S., Gorji, M., & Mohammadi, M. H. (2022). Biocrust diversity enhances dryland saline soil multifunctionality. *Land Degradation & Development*. 34 (2), 521-533.
- 61.Chi, Y., Li, Z., Zhang, G., Zhao, L., Gao, Y., Wang, D., Liu, L., Cai, D., & Wu, Z. (2020). Inhibiting desertification using aquatic cyanobacteria assisted by a nanocomposite. *ACS Sustainable Chemistry & Engineering*, 8, 3477-3486.
- 62.Lan, S., Wu, L., Adessi, A., & Hu, C. (2022). Cyanobacterial persistence and influence on microbial community dynamics over 15 years in induced biocrusts. *Environmental Microbiology*, 24, 66-81.
- 63.Seckbach, J. (Ed.). (2007). *Algae and cyanobacteria in extreme environments* (Vol. 11). Springer Science & Business Media. 812 p.
- 64.Kvíderová, J., Elster, J., & Komárek, J. (2019). Ecophysiology of cyanobacteria in the polar regions. In *Cyanobacteria*, 277-302 p. Academic Press.

